

II-67

振動格子による乱れの特性

九州工業大学 正会員 浦 勝  
 九州大学 正会員 小坂 利光  
 九州大学 正会員 松永 信博  
 九州大学 員生員 舟敷 遷和

1 予えがた

密度流において、内部境界面に生じる連行現象を明らかにすることは、流れを知る上で不可欠であると認識されて以来、噴流や二層流、混合層流における連行現象について著者が所定の研究が行われて来た。その結果、連行は境界面の変動だけでなく界面付近の乱れや組織渦も大きく関与していることが指摘されており、予え乱れの特性を知る必要とされている。従って本研究では、振動格子という比較的簡単なエネルギー源により乱れを発生させ、均一流体中の乱れ場の測定を行う乱れ強度や積分スケールの空間特性を明らかにすると共に、組織渦の存在を確認しスケールを求め両スケール間の関係則を求めた。

2 実験装置及び実験方法

図-1は本実験に用いた装置の概略図であり、予え作業流体として均一流体(水)を用いた。表-1に水槽と格子の寸法並びに振動条件を示す。格子の振動中心位置から水槽の底までの距離(L)を、15cmより8cmに固定し、格子の振動高(h)を1~8cm、振動数(f)を1~6Hzの範囲とした。表面波による乱れの発生を防止するため、水表面に蓋を浮かべた。加振機には、格子の運動が正弦的であるように、スコッチ、クランク、システムを採用した。台車は水路と独立に設置されたレール上を一定速度で走行できるようにしている。台車走行方向(X)と鉛直方向(Z)の二成分の流速測定を行うため、V型二方向熱線流速計をポイントゲージに取り付け、それを台車に固定した。台車速度(Uc)を2.28%から15.43%の間に8段階に変化させることにより、流速計の検証を行った。乱れの測定に際しては、台車速度が格子によって発生した最大流速よりも十分大きく、走行による変動が与える限り小さいこと(格子しいため)、Uc=8.29%に設定した。熱線流速計の二成分出力はデータレコーダに収録した。予え振動格子による定量的な乱れを測るために、振動を停止した状態で、台車の走行に伴う変動も収録した。データ処理に際しては、時間刻みdt=0.0025、データ個数N=4096でA-D変換した。

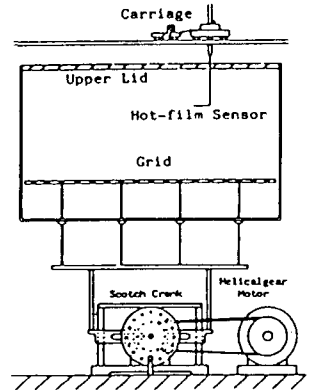


図-1 実験装置

表-1 実験条件

Case	Basin			Oscillating Grid				
	Length L <sub>0</sub> (mm)	Width W <sub>0</sub> (mm)	Depth D <sub>0</sub> (mm)	Position D <sub>g</sub> (mm)	Bar thickness d (mm?)	Mesh M (mm)	Stroke S <sub>g</sub> (mm)	Frequency f <sub>g</sub> (Hz)
1	1000 (Fig. 2)	254	400	150	10	50	40	2.3, 4.5, 6
				80	10	50	40	4.8, 5, 7.5, 8

3 実験結果

振動格子によって作られた乱れは水平面内一様であると思われるため、乱れの特性量としてZ方向及びZ方向の乱れ強度 $u'$ ,  $w'$ と流れ方向の積分スケール $l_z$ ,  $l_x$ が考えられる。乱れ強度 $u'$

$$u' = \sqrt{u^2 - \bar{u}^2}, \quad w' = \sqrt{w^2 - \bar{w}^2}$$

によって求めた。二成分 $u$ ,  $w$ は格子振動中に測定された速度変動 $u_c$ ,  $w_c$ は台車走行に伴う速度変動である。これらの量は規定可能なものは、外径パラメータ $M$ ,  $d$ ,  $f_0$ ,  $S_0$ であるが、本実験で $d/M = 0.2$ のもとで行われたことを考慮し、次元解析により次の無次元係を得た。

$$\begin{aligned} u'/f_0 S_0 &= C_1 (S_0/M)^{R_1} (Z/M)^{B_1}, & l_z/M &= C_3 (S_0/M)^{B_3} (Z/M)^{D_3} \\ w'/f_0 S_0 &= C_2 (S_0/M)^{R_2} (Z/M)^{B_2}, & l_x/M &= C_4 (S_0/M)^{R_4} (Z/M)^{D_4} \end{aligned} \quad \text{--- (1)}$$

二成分 $C_1 \sim C_4$ と指数は定数である。図-2は $u'/f_0 S_0$ ,  $w'/f_0 S_0$ と $Z/M$ に対してプロットした結果の一例である。

図-2 及び他のデータより、 $z_2$  は  $z_1$  の  $1/4$  をとることから、次式  $(u'/\delta_0 S_0) / (z/M)^{5/4}$ ,  $(w'/\delta_0 S_0) / (z/M)^{5/4} \sim E(S_0/M)$  に対し、先づ先づ自己相関係数  $R_u(z)$  と  $R_w(z)$  のプロットしたものが図-3 である。これより  $R_1, R_2$  は  $1/2$  であり、 $C_1 = 0.220$ ,  $C_2 = 0.215$  と存した。

$$\begin{aligned} u'/\delta_0 S_0 &= 0.220 (S_0/M)^{1/2} (z/M)^{-5/4} \\ w'/\delta_0 S_0 &= 0.215 (S_0/M)^{1/2} (z/M)^{-5/4} \end{aligned} \quad (2)$$

すなわち  $C_1$  と  $C_2$  の値に大差は見られず、振動格子によって発生した乱流は通常の格子乱流と同様、顕著な方向性を帯びておらずと考えられる。Thompson & Turner<sup>1)</sup> の  $u'$  についての測定結果は、本実験とほぼ一致するが、Hopfinger & Torg<sup>2)</sup> の結果は 20% 程大差を帯びている。また  $R_1$  と  $R_2$  は  $u'$ ,  $w'$  の自己相関係数  $R_u(z)$ ,  $R_w(z)$  から次式によって求めた。

$$R_1 = \frac{1}{L_1} \int_0^{L_1} R_u(z) dz, \quad R_2 = \frac{1}{L_2} \int_0^{L_2} R_w(z) dz$$

すなわち  $L_1$  は相関係数が最初に 0 となるまでの時間である。図-4 は  $R_1/M$  と  $S_0/M$  による記号別に、 $z/M$  に対してプロットしたものである。 $R_1/M$  は  $S_0/M$  にほとんど依存せず、 $z/M$  に関して線形的に増大し、 $R_2$  にも同じ結果が得られた。従って横分スケールとして、

$$L_1/M, L_2/M = 0.14 (z/M) \quad (3)$$

を得る。次に、相関係数は明確な乱流の卓越周期  $T_m$  が認められ、 $T_m$  の値は  $z$  の増加と共に大きくなっていることが分る。この卓越周期  $T_m$  は横分スケールと比較すると数倍大きい値となることから、乱流の組織的渦の周期に由来した時間スケールと考えられる。組織渦の  $x, z$  方向の長さスケールを先づ  $L_x, L_z$  とし、台車速度と  $T_m$  の積によって求め、図-5 に  $L_x/M$  の  $z/M$  に対する関係を示した。 $L_x/M$  も  $L_1/M$  と同様  $S_0/M$  に依存せず  $z/M$  に関して線形的に増加する。しかし、 $z/M \leq 1.47$  以下はメッシュの寸法に一致するとはならず、格子近傍に生じた規則的な吸込み、湧き出し流のスケールは格子のメッシュの寸法に規定されていると考えられる。 $L_x$  にも同様な特性が認められた。従って組織渦の長さスケール  $L_x, L_z$  を記述する式を以下のように提示する。

$$\begin{aligned} \frac{L_x}{z} &= \begin{cases} 1.0 & (0 \leq z/M \leq 1.14) \\ 0.88 z/M & (z/M \geq 1.14) \end{cases} \\ \frac{L_z}{z} &= \begin{cases} 1.0 & (0 \leq z/M \leq 1.14) \\ 0.68 z/M & (z/M \geq 1.14) \end{cases} \end{aligned} \quad (4)$$

#### 4 結論

振動格子によって発生する乱流の諸特性をについて測定した結果、乱流強度は格子の振動中心からの距離の  $1/4$  乗に比例し(式(2))、乱流のスケールに比例する(式(3),(4))。また、乱流スケールは横分スケールに加え組織渦と思われ卓越したスケールが存在することが確認された。

<参考文献> 1) Thompson, S.M. and, Turner; Mixing across an interface due to turbulence generated by an oscillating grid 2) Hopfinger E.J and Torg, J.A; Spatially decaying turbulence and its relation to mixing across density interface.

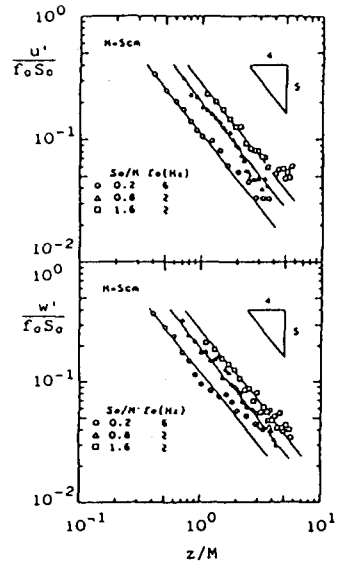


図-2 乱流強度の一例

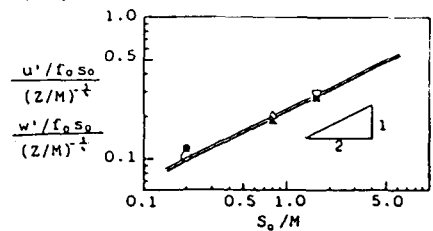


図-3 乱流強度の  $S_0$  に対する依存性

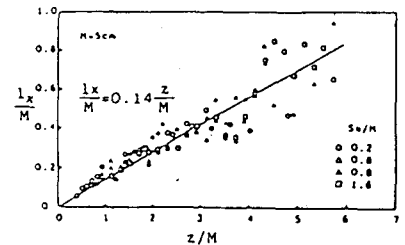


図-4 横分スケール

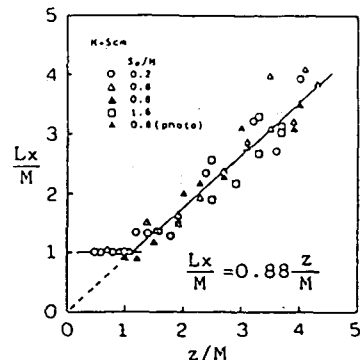


図-5 組織渦のスケール